

Υπολογιστική ρευστομηχανική 7^ο εξάμηνο

Προαιρετικό θέμα 1

Προσομοίωση τυρβώδους ροής εντός αεροσύραγγας



Γεώργιος Νιδριώτης - mc18054
3 Φεβρουαρίου 2024

Περιεχόμενα

Εισαγωγή	1
1 Κατασκευή πλέγματος	1
1.1 Κατασκευή πλέγματος κατά την ακτινική διεύθυνση	1
1.2 Κατασκευή πλέγματος κατά την αξονική διεύθυνση	3
1.3 Παράμετροι & εικόνες πλέγματος	4
2 Ορισμός συνοριακών συνθηκών - μοντελοποίηση δίσκου ορμής	5

Εισαγωγή

Το παρόν θέμα περιλαμβάνει την προσομοίωση ροής εντός αεροσύραγγας. Η ροή είναι ασυμπίεστη, συνεκτική και τυρβώδης, και το πρόβλημα περιλαμβάνει δύο μέρη. Πρώτον, προσομοιώνουμε τη ροή εντός του αγωγού, χωρίς σώμα, όπως θα ήταν στο εσωτερικό κυλινδρικού αγωγού. Δεύτερον, εισάγουμε σε κάποια αξονική θέση και στο κέντρο ακτινικά της αεροσύραγγας τον δρομέα μιας ανεμογεννήτριας.

Επιπλέον, το πρόβλημα μοντελοποιείται ως αξονοσυμμετρικό και επομένως λύνεται ως διδιάστατο για τη μισή διάμετρο της αεροσύραγγας. Η ροή που μελετάται διέπεται από τις εξισώσεις Navier-Stokes, διατυπωμένες για κυλινδρικό σύστημα συντεταγμένων για αξονοσυμμετρικό πεδίο ροής (εξ. 1).

$$\begin{aligned} \frac{1}{r} \frac{\partial(rv)}{\partial r} + \frac{\partial u}{\partial x} &= 0 \\ \frac{\partial(u^2)}{\partial x} + \frac{1}{r} \frac{\partial(ruv)}{\partial r} &= -\frac{\partial p}{\partial x} + \frac{1}{Re} \left[\frac{1}{r} \frac{\partial}{\partial r} \left(r \frac{\partial u}{\partial r} \right) + \frac{\partial^2 u}{\partial x^2} \right] \\ \frac{\partial(uv)}{\partial x} + \frac{1}{r} \frac{\partial(rv^2)}{\partial r} &= -\frac{\partial p}{\partial r} + \frac{1}{Re} \left[\frac{1}{r} \frac{\partial}{\partial r} \left(r \frac{\partial v}{\partial r} \right) + \frac{\partial^2 v}{\partial x^2} - \frac{v^2}{r} \right] \end{aligned} \quad (1)$$

Οι εξισώσεις 1 είναι αδιαστατοποιημένες ως προς την ακτίνα του δρομέα και την ταχύτητα της αδιατάρακτης ροής.

Η επίδραση του δρομέα της Α/Γ στην ροή μοντελοποιείται με τη μέθοδο δίσκου ορμής όπου στην εξίσωση ορμής κατά x (δεύτερη εξίσωση των 1) προσθέτουμε έναν επιπλέον όρο στον όρο πηγής που μπορεί να περιγραφεί από μια καταβόθρα ορμής στη θέση που βρίσκεται ο δρομέας (x και r). Ο όρος που προστίθεται είναι η ποσότητα του φορτίου που ασκείται από τον δρομέα στο ρευστό, και μετά τη διακριτοποίηση, ο όρος που προσθέτουμε σε ένα κελλί δίνεται στη σχέση 2.

$$dF = -\frac{1}{2} \rho C_t U_{ref}^2 dA \quad (2)$$

όπου,

- U_{ref} είναι η μέση ταχύτητα στην επιφάνεια του δίσκου για αδιατάρακτη ροή (απουσία δίσκου)
- $dA = 2\pi r dr$, με r τη μέση ακτίνα του εκάστοτε κελλιού, και dr το ακτινικό εύρος του κελλιού

1 Κατασκευή πλέγματος

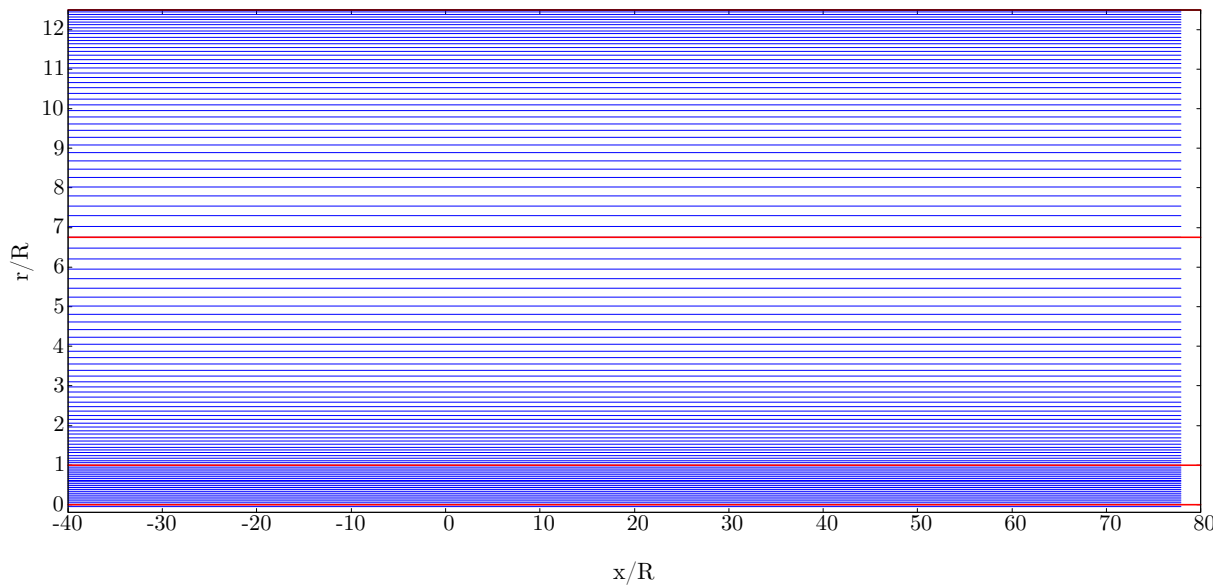
Όπως αναφέρθηκε και προηγουμένως, το πρόβλημα μοντελοποιείται ως αξονοσυμμετρικό επιλύεται σε διδιάστατο πλέγμα. Για την αύξηση της ακρίβειας των αριθμητικών μεθόδων, εφαρμόσθηκε πύκνωση στις περιοχές όπου έχουμε υψηλές κλίσεις και συγκεκριμένα, στην περιοχή γύρω από τον δρομέα, στο τοίχωμα της αεροσύραγγας, και κοντά στον άξονα συμμετρίας όπου αναπτύσσεται ο ομόρρου της ανεμογεννήτριας.

Η πύκνωση και η αραίωση του πλέγματος γίνεται με τη χρήση γεωμετρικής προόδου. Συμβολίζοντας με p τη θέση ενός κόμβου, dp την απόσταση μεταξύ δύο κόμβων, και r τον λόγο της γεωμετρικής προόδου, η γεωμετρική πρόοδος περιγράφεται από τις σχέσεις 1.1.

$$\begin{aligned} \frac{dp_{k+1}}{dp_k} &= r \\ p_k &= p_0 + dp_0 \frac{r^k - 1}{r - 1} \end{aligned} \quad (1.1)$$

1.1 Κατασκευή πλέγματος κατά την ακτινική διεύθυνση

Κατά την ακτινική διεύθυνση το πλέγμα χωρίστηκε σε τρεις περιοχές. Αρχικά στην περιοχή από τον άξονα συμμετρίας έως την ακτίνα του δρομέα έχουμε ομοιόμορφο πλέγμα με μέγεθος dy_grid που εισάγεται από τον χρήστη. Έπειτα, το υπόλοιπο ακτινικό χωρίο χωρίζεται στα δύο. Από τη θέση $y=1$ (ακτίνα δρομέα) έως το μέσο του υπολοίπου χωρίου, έχουμε σταδιακή αραίωση με γεωμετρική πρόοδο. Ενώ από το μέσο του χωρίου έως το τοίχωμα έχουμε σταδιακή πύκνωση με τον ίδιο λόγο γεωμετρικής προόδου, επομένως έχουμε αντικατωπτρισμό του πλέγματος που δημιουργήθηκε στην δεύτερη περιοχή. Το πλέγμα σε αυτές τις περιοχές ελέγχεται από τον χρήστη εισάγωντας τον αριθμό των κελιών σε κάθε περιοχή και τον λόγο της γεωμετρικής προόδου. Οι τρεις περιοχές και το παραγόμενο πλέγμα φαίνονται στο σχήμα 1.



Σχήμα 1: Κόμβοι πλέγματος κατά την ακτινική διεύθυνση

Όπως φαίνεται και στο τμήμα του κώδικα 2, με βάση τις εισόδους (αριθμός κελιών) υπολογίζουμε μέσω της σχέσης 1.1 το μήκος του πρώτου κελιού στην πρόοδο (του μικρότερου), και χρησιμοποιώντας την ίδια σχέση υπολογίζουμε τη θέση του κάθε κόμβου.

```

1 !--- Uniform grid in y-direction
2 !From y=ymin to y=1 (disk radius)
3
4 ! Second point is on symmetry line
5 y_grid(2)=ymin
6
7 do j=2,ngridy1-1
8   y_grid(j+1)=y_grid(j) + dy_grid
9 enddo
10
11 ! First point is symmetric to third
12 y_grid(1)=-y_grid(3)

```

Τμήμα κώδικα 1: Κατασκευή ομοιόμορφου πλέγματος

```

1 !--- Non-uniform grid from ngridy1 to ngridy2
2 !--- From y=1 to y=y_mid
3
4 ! Calculate length of first cell in coarsening region
5 ! using the number of cells
6 dy_grid_first= ((y_mid-1.d0) / (raty**double(ngridy2)) -
7   1.d0)) * (raty-1.d0)
8
9 do j=1,ngridy2
10  y_grid(j+ngridy1)=y_grid(j+ngridy1-1) +
11    dy_grid_first*raty**(j-1)
12 enddo

```

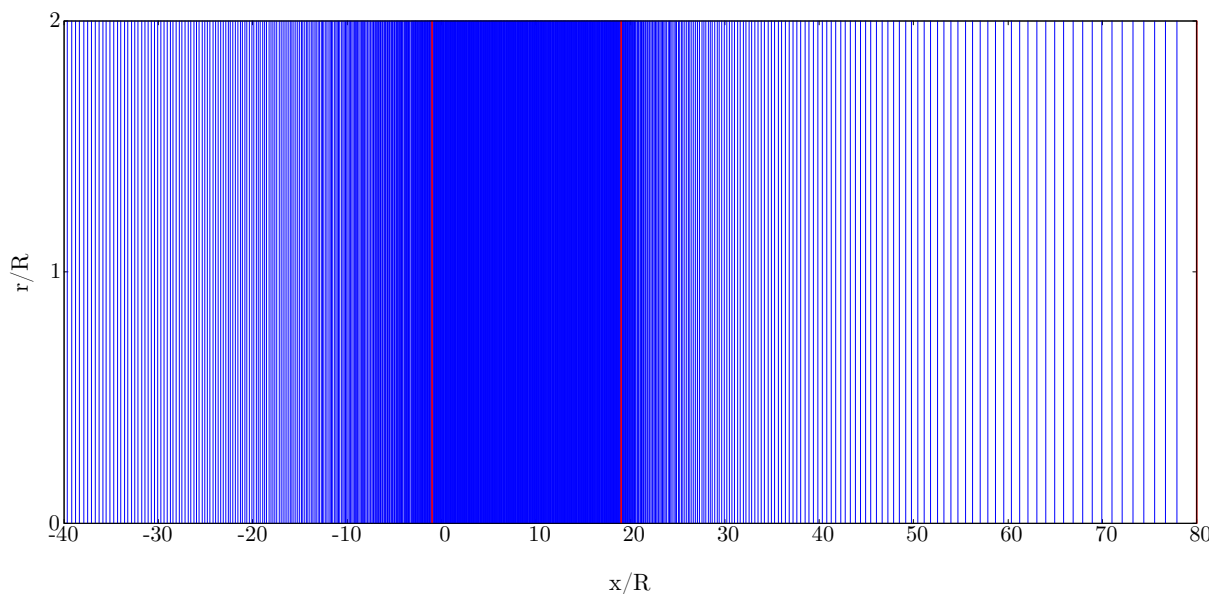
Τμήμα κώδικα 2: Αραίωση πλέγματος

```

1 !--- Non-uniform grid from ngridy1 to ngridy2
2 !--- From y=y_mid to y=y_max
3
4 do j=1,ngridy2
5   ! Inverse raty to refine mesh
6   y_grid(j+ngridy1+ngridy2)=y_grid(j+ngridy1+ngridy2
7     -1) + dy_grid_first/raty**(j-1)*raty**(ngridy2-1)
8 enddo

```

Τμήμα κώδικα 3: Πύκνωση πλέγματος



Σχήμα 2: Κόμβοι πλέγματος κατά την αξονική διεύθυνση

1.2 Κατασκευή πλέγματος κατά την αξονική διεύθυνση

Όπως αναφέρθηκε και παραπάνω, στην αξονική διεύθυνση έχουμε ομοιόμορφο πλέγμα κοντά στον δρομέα, και σταδιακή αραίωση ανάντι και κατάντι αυτού. Ξανά, το μήκος των κελιών στην ομοιόμορφη περιοχή ορίζεται από τον χρήστη και είναι ίσο με το μήκος των κελιών κατά την ακτινική διεύθυνση στο ομοιόμορφο τμήμα. Η κατανομή των κόμβων κατά την αξονική διεύθυνση φαίνεται στο σχήμα 2.

Παρακάτω φαίνονται τα τμήματα του κώδικα που δημιουργούν το πλέγμα για τις τρεις περιοχές κατά την αξονική διεύθυνση.

```

1  !-- x-grid
2  write(*,*) 'Target Uni Dx=', dx_uni_tar
3  ! Correct uniform spacing to intersect x=-1 and x=0
4  dx_uni_cor = 10**((LOG10(1.d0)-LOG10(dble(ceiling(10**
5    (LOG10(1.d0)-LOG10(dx_uni_tar))))))
6  ngridx2 = ceiling(xuni / dx_uni_cor)
7  dx_grid2 = dx_uni_cor
8  dx_grid1 = dx_uni_cor
9  write(*,*) 'dx_grid1=', dx_grid1
10
11 ngridx1 = int(dlog(1.d0+xmin*(1.d0-ratx1)/dx_grid1)/dlog
12   (ratx1))
13 ngridx3 = int(dlog(1.d0-(xmax-xuni)*(1.d0-ratx2)/
14   dx_grid1)/dlog(ratx2))
15 ngridx=ngridx1+ngridx2+ngridx3
16 ! Save the index of rotor axial position
17 x0ind = ngridx1+ngridx2/xuni

```

Τμήμα κώδικα 4: Υπολογισμός παραμέτρων πλέγματος στην αξονική διεύθυνση

```

1  ! Upstream coarsening (x < -1) with ratx1 ratio
2  x_grid(ngridx1)=-1.d0
3  do i=1,ngridx1-1
4    x_grid(ngridx1-i)=x_grid(ngridx1-i+1)-dx_grid1*ratx1
5    *(i-1)
6  enddo

```

Τμήμα κώδικα 5: Αραίωση πλέγματος ανάντι δρομέα

```

1  ! Uniform grid -1 < x < XUNI-1

```

```

2      do i=1,ngridx2
3          x_grid(ngridx1+i)=x_grid(ngridx1+i-1)+dx_grid2
4      enddo

```

Τμήμα κώδικα 6: Ομοιόμορφο πλέγμα κοντά στον δρομέα

```

1 ! Downstream coarsening (x > XUNI-1) with ratx2 ratio
2 do i=1,ngridx3
3     x_grid(ngridx1+ngridx2+i)=x_grid(ngridx1+ngridx2+i
4     -1)+dx_grid2*ratx2**(i-1)
5 enddo

```

Τμήμα κώδικα 7: Αραίωση πλέγματος κατάντι δρομέα

Όπως φαίνεται και στο τμήμα του κώδικα 4, το πλήθος των κόμβων για τα δύο τμήματα που αραιώνουμε, υπολογίζεται ώστε προσεγγιστικά να φτάνει το πλέγμα έως τα όρια που έχει ορίσει ο χρήστης. Θα μπορούσαμε εναλλακτικά να εισάγουμε το πλήθος των κόμβων και να λύσουμε την εξίσωση 1.1 ώστε να καθορίσουμε το απαιτούμενο μήκος του πρώτου κελλιού. Ωστόσο, δεν μας ενδιαφέρει να πετύχουμε ακριβώς τη θέση εισόδου και εξόδου που ορίζει ο χρήστης, αφού απλά ενδιαφερόμαστε να έχουμε ικανοποιητικό μήκος ώστε να μπορούμε να εφαρμόσουμε συνοριακές συνθήκες που δεν θα επηρεάζονται από τις συνθήκες κοντά στον δρομέα, δηλαδή να έχουμε αποκατεστημένη ροή.

Έτσι, σε αυτή την περίπτωση, είναι προτιμότερο να έχουμε ομαλή μετάβαση από το τμήμα ομοιόμορφου πλέγματος στα τμήματα της αραίωσης διατηρώντας ίδιο μήκος κελλιού στο σύνολο των περιοχών.

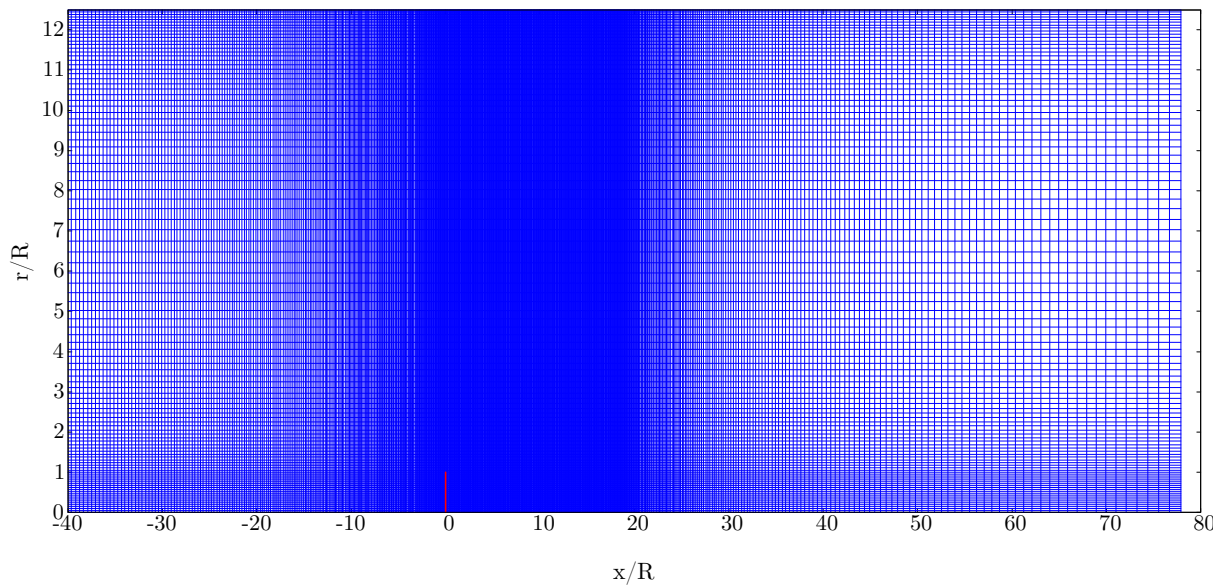
1.3 Παράμετροι & εικόνες πλέγματος

Οι τελικές γεωμετρικές παράμετροι και οι παράμετροι που αφορούν το πλέγμα και αναφέρθηκαν παραπάνω παρατίθενται στον πίνακα 1.

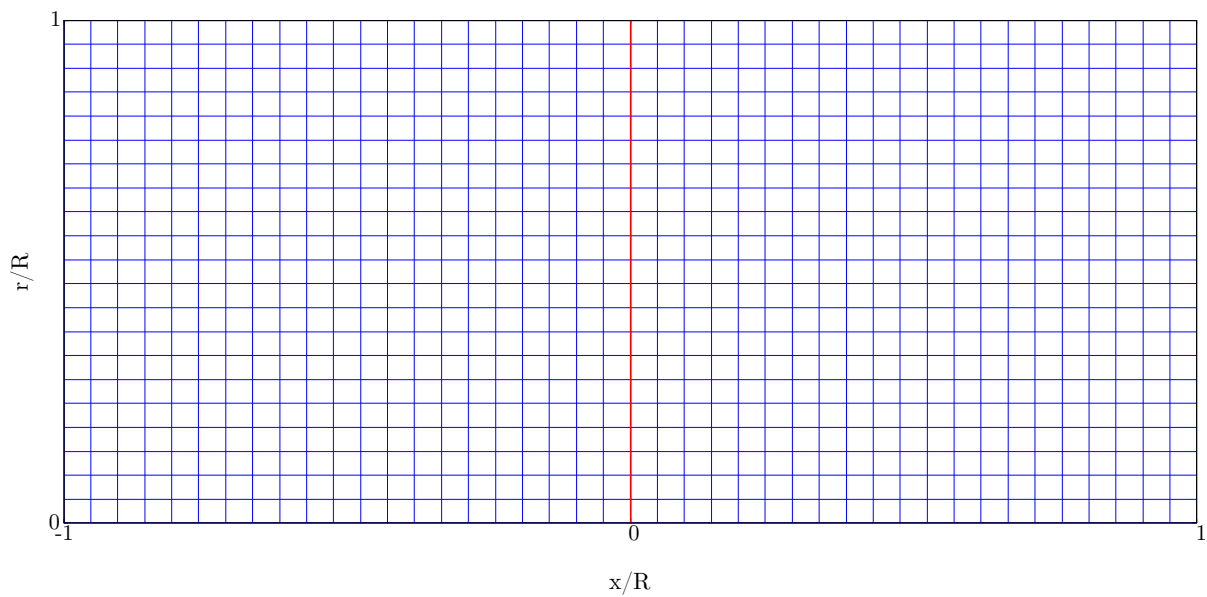
XMIN	-40	Αρχή υπολογιστικού χωρίου
XMAX	80	Τέλος υπολογιστικού χωρίου
XUNI	20	Μήκος τμήματος ομοιόμορφου πλέγματος
YMIN	0	Ελάχιστη ακτινική θέση
YMAX	12.5	Μέγιστη ακτινική θέση
NGRIDX1	91	Πλήθος κόμβων αραίωσης - αξονικά
NGRIDX	582	Συνολικό πλήθος κόμβων - αξονικά
NGRIDY1	41	Πλήθος κόμβων αραίωσης - ακτινικά
NGRIDY	102	Συνολικό πλήθος κόμβων - ακτινικά
dx_uni	0.05	Μέγεθος κελλιού - ομοιόμορφο πλέγμα
RATX1	1.01	Λόγος ΓΠ ανάντι
RATX2	1.02	Λόγος ΓΠ κατάντι
RATY	1.04	Λόγος ακτινικής πυκνώσης

Πίνακας 1: Τελικές γεωμετρικές παράμετροι και παράμετροι πλέγματος

Στα ακόλουθα διαγράμματα παρουσιάζεται η τελική μορφή του πλέγματος σε ολόκληρο το χωρίο και εστιασμένο στις περιοχές ενδιαφέροντος. Η θέση του δρομέα σημειώνεται με κόκκινη συμπαγή γραμμή.



Σχήμα 3: Συνολική εικόνα πλέγματος



Σχήμα 4: Περιοχή δρομέα - ομοιόμορφο πλέγμα

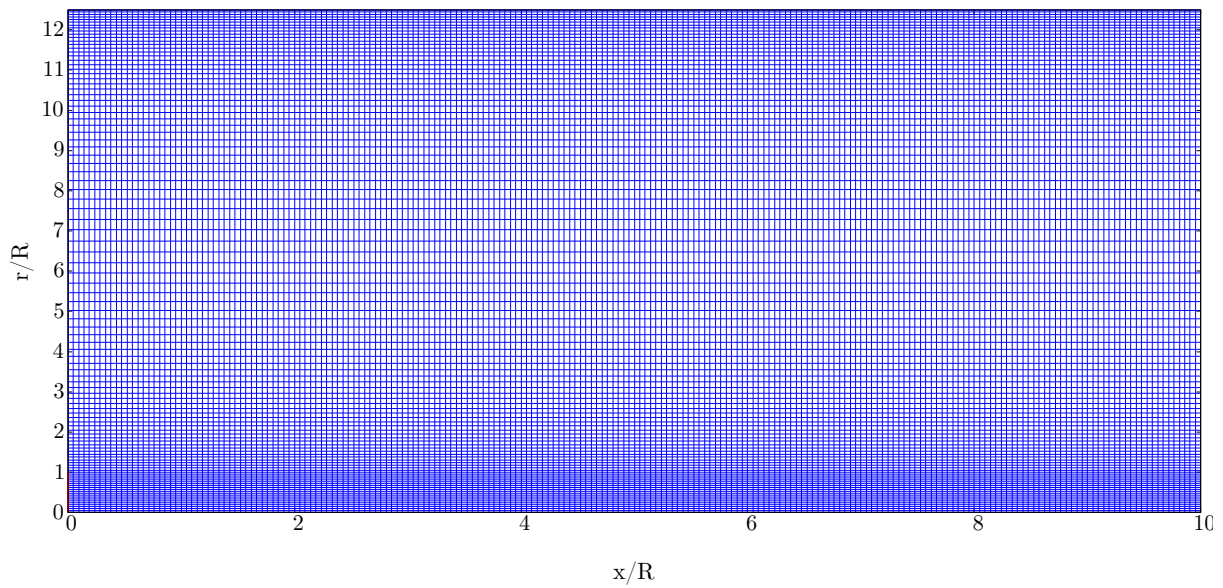
2 Ορισμός συνοριακών συνθηκών - μοντελοποίηση δίσκου ορμής

Για την κατάστρωση του γενικού συστήματος των εξισώσεων η διατύπωση της γραμμικοποιημένης εξίσωσης για κάθε κελί φαίνεται στην εξίσωση ??.

$$\alpha_P u_P = \alpha_E u_E + \alpha_W u_W + \alpha_N u_N + \alpha_S u_S + S \quad (2.1)$$

Όπου:

- **u**: η τιμή του μεγέθους προς επίλυση (π.χ ταχύτητα, πίεση, κινητική ενέργεια τύρβης)
- **α**: ο συντελεστής συνεισφοράς του εν λόγω μεγέθους στην εξίσωση προς επίλυση
- **S**: όρος πηγής της εξίσωσης



Σχήμα 5: Περιοχή κατάντι δρομέα

Και οι δείκτες E,W,N,S αναφέρονται στα γειτονικά κελλιά από αυτό που διατυπώνουμε την εξίσωση (ανατολικό, δυτικό κ.ο.κ), και ο δείκτης P αναφέρεται στην τιμή του μεγέθους που έχει το δεδομένο κελλί.

Οι τιμές των συντελεστών (α) προφανώς προκύπτουν αφού φέρουμε την γενική εξίσωση σε γραμμικοποιημένη μορφή.

2.1 Ορισμός συνοριακών συνθηκών

Οι οριακές συνθήκες που ορίζουμε σε κάθε περιοχή είναι οι εξής:

Είσοδος

- $u = 1$, αφού έχουμε αδιαστατοποιήσει με την ταχύτητα ελεύθερης ροής
- $v = 0$
- $k = 1.5(U^2 I^2)$, όπου k η κινητική ενέργεια της τύρβης, u το μέτρο της ταχύτητας, και I η ατμοσφαιρική ένταση της τύρβης

Έξοδος

- $\frac{\partial u}{\partial x} = 0$
- $\frac{\partial v}{\partial x} = 0$
- $\frac{\partial k}{\partial x} = 0$

Άνω σύνορο

- $u = 0$
- $v = 0$
- $\frac{\partial k}{\partial r} = 0$

Άξονας συμμετρίας

- $v = 0$
- $\frac{\partial u}{\partial r} = 0$
- $\frac{\partial v}{\partial r} = 0$
- $\frac{\partial k}{\partial r} = 0$

Έτσι, παρακάτω φαίνεται η υλοποίηση των οριακών συνθηκών ακολουθώντας τη γραμμικοποιημένη μορφή της ???. Σημειώνεται πως στον κώδικα BB συμβολίζεται ο όρος πηγής και οι οριακές συνθήκες της μορφής $\frac{\partial U}{\partial x} = 0$ υλοποιούνται εκφράζοντας πεπερασμένες διαφορές ως: $U_i - U_{i-1} = 0$.

```

1  !--- Coefficient matrix initialization
2  AE = 0.d0
3  AW = 0.d0
4  AN = 0.d0
5  AS = 0.d0
6  AP = 0.d0
7  BB = 0.d0
8  DU = 0.d0
9
10 !====INFLOW BOUNDARY CONDITIONS
11 do j=1,ngridy-1
12     AP(1,j) = 1.d0
13     BB(1,j) = 1.d0
14
15     DU(1,j)=1.d0
16 enddo
17
18 !====OUTFLOW BOUNDARY CONDITIONS
19
20 do j=2,ngridy-1
21     AW(ngridx,j) = 1.d0
22     AP(ngridx,j) = 1.d0
23
24     DU(ngridx,j)=1.d0
25 enddo
26
27 !----- BOUNDARY CONDITIONS AT SYMMETRY AXIS
28
29 do i=2,ngridx
30     AP(i,1)=1.d0
31     AN(i,1)=1.d0
32
33     DU(i,1)=1.d0
34 enddo
35
36 !----- BOUNDARY CONDITIONS AT UPPER BOUNDARY
37 do i=2,ngridx-1
38     AP(i,ngridy-1)=1.d0
39     BB(i,ngridy-1)=0.d0
40
41     DU(i,ngridy-1)=1.d0
42 end do

```

Τμήμα κώδικα 8: Οριακές συνθήκες ταχύτητας u

```

1  !--- Coefficient matrix initialization
2  AE = 0.d0
3  AW = 0.d0
4  AN = 0.d0
5  AS = 0.d0
6  AP = 0.d0
7  BB = 0.d0
8  DV = 0.d0
9

```

```

10  !====INFLOW BOUNDARY CONDITIONS
11
12  do j=1,ngridy
13      AP(1,j)=1.d0
14      BB(1,j)=0.d0
15
16      DV(1,j)=1.d0
17  enddo
18
19  !====OUTFLOW BOUNDARY CONDITIONS
20  do j=2,ngridy-1
21      AP(ngridx,j)=1.d0
22      AW(ngridx,j)=1.d0
23
24      DV(ngridx,j)=1.d0
25  end do
26
27  !-----SYMMETRY AXIS
28  do i=2,ngridx
29      AP(i,2)=1.d0
30      BB(i,2)=0.d0
31      DV(i,2)=1.d0
32
33      AP(i,1)=1.d0
34      BB(i,1)=-VVEL(i,3)
35      DV(i,1)=1.d0
36  enddo
37
38  !-----UPPER BOUNDARY CONDITIONS
39
40  do i=2,ngridx
41      AP(i,ngridy)=1.d0
42      BB(i,ngridy)=0.d0
43      DV(i,ngridy)=1.d0
44  end do

```

Τμήμα κώδικα 9: Οριακές συνθήκες ταχύτητας v

```

1  !--- Coefficient matrix initialization
2  AE=0.d0
3  AW=0.d0
4  AN=0.d0
5  AS=0.d0
6  AP=0.d0
7  BB=0.d0
8
9  !====INFLOW BOUNDARY CONDITIONS
10 do j=1,ngridy-2
11     AP(1,j)=1.d0
12     BB(1,j)=1.5d0*tiamb**2.d0
13 enddo
14
15 !====OUTFLOW BOUNDARY CONDITIONS
16
17 do j=2,ngridy-2
18     AP(ngridx-1,j)=1.d0
19     AW(ngridx-1,j)=1.d0
20 enddo
21
22 !----- BOUNDARY CONDITIONS AT SYMMETRY AXIS
23
24 do i=2,ngridx-1
25     AP(i,1)=1.d0
26     AN(i,1)=1.d0
27 enddo
28
29 !----- BOUNDARY CONDITIONS AT UPPER BOUNDARY
30 do i=1,ngridx-1
31     AP(i,ngridy-1)=1.d0
32     AS(i,ngridy-1)=1.d0
33 end do

```

Τμήμα κώδικα 10: Οριακές συνθήκες κινητικής ενέργειας τύρβης k

2.2 Μοντελοποίηση δρομέα με δίσκο ορμής

Όπως φαίνεται στο τμήμα 4 του κώδικα, αποθηκεύουμε τον δείκτη των κόμβων κατά x στον οποίο βρίσκεται ο δρομέας ($x=0$). Έτσι, στα κελιά στη θέση $x=0$ για τις τιμές της ακτίνας από 0 μέχρι 1 (ακτίνα δρομέα) προσθέτουμε τον όρο της εξίσωσης 2 στον όρο πηγής της εξίσωσης ορμής κατά x του κελλιού. Η τιμή της ταχύτητας αναφοράς (U_{ref}) λήφθηκε από το πρώτο τρέξιμο του κώδικα χωρίς τον δρομέα ως η μέση τιμή της οριζόντιας ταχύτητας στη θέση του δρομέα. Με βάση τη ταχύτητα αναφοράς από την εκφώνηση προσδιορίζουμε τον αντίστοιχο συντελεστή ώσης από τα δεδομένα της εκφώνησης. Και οι δύο παράμετροι, καθώς και η επιλογή προσομοίωσης με ή χωρίς τον δρομέα ελέγχονται από κατάλληλες παραμέτρους στο αρχείο εισόδου (??).

```
1  !--- Add disc contribution
2  if (disc.eq.1) then
3      !--- Add source term to cells on x=0
4      if (i.eq.x0ind) then
5          !--- Add source term to cells from r=0 to r=R
6          if (y_grid(j).le.1) then
7              BB(i,j) = BB(i,j) - 0.5*ct*x2*pi*yc*dygridstgu(j)*uref
8          endif
9      endif
10 endif
```

Τμήμα κώδικα 11: Προσθήκη όρου πηγής - ορμή κατά x - δίσκος ορμής

3 Αρχείο παραμέτρων και τελικές τιμές

Για τη δική μου περίπτωση η ταχύτητα ελεύθερης ροής και η ακτίνα του δρομέα προκύπτουν ίσες με: $U = 14m/s$ και $R = 0.34m$. Μετά την πρώτη προσομοίωση, η ταχύτητα αναφοράς για την ώση και ο αντίστοιχος συντελεστής ώσης είναι ίσοι με: $U_{ref} = 17.67m/s$ και $C_t = 0.1266$.

```
1  XMIN      XMAX      XUNI      YMIN      YMAX
2  -40.      80.      20.      0.      12.5
3  NGRIDX1   NGRIDY1   DX_UNI
4  91        41        0.05d0
5  RATX1     RATX2     RATY
6  1.01      1.02      1.04
7  DVISC     UINF
8  1.5e-5    14.
9  RADIUS     CT        UREF  !CT AND UREF for thrust
10 calculation
11 0.34d0     0.1266    17.67
12 ITMAX     NSWP      NBACKUP
13 30000     5         500
14 EPS       TINY
15 1d-6      1d-20
16 URFU      URFV      URF      URFTE     URFVIS
17 0.40      0.40      0.350    0.40      0.450
18 TIAMB
19 0.10
20 IBACKUP    RUN_WITH_DISC ! (0 for free, 1 for rotor)
21 0          1
```

Τμήμα κώδικα 12: Αρχείο εισόδου

Λόγω δυσκολιών στη σύγκλιση, οι συντελεστές υποχαλάρωσης μειώθηκαν συγκριτικά με τους προτεινόμενους με τον μικρότερο να χρησιμοποιείται στην πίεση. Οι ακριβείς συντελεστές υποχαλάρωσης φαίνονται στο αρχείο εισόδου (??). Για την προσεγγιστική ανάλυση σε τριδιαγώνια συστήματα έγιναν 5 σαρώσεις ανά κατεύθυνση.

4 Παρουσίαση αποτελεσμάτων